

Estimace mechanické úhlové rychlosti střídavého pohonu s asynchronním motorem

Martin Kaduch¹

¹Katedra výkonové elektroniky a elektrický strojů, FEI, VŠB – Technická Univerzita Ostrava,
17. listopadu 15, 708 33 Ostrava-Poruba
martin.kaduch@vsb.cz

Abstrakt. Pro vektorové řízení asynchronního motoru je potřeba znát polohu rotoru a velikost mechanické úhlové rychlosti, proto je zapotřebí použít snímač polohy rotoru, resp. Snímač mechanické úhlové rychlosti. V průmyslu existují aplikace, kde nelze tyto snímače použít. V tomto příspěvku budou popsány různé druhy estimace mechanické úhlové rychlosti a budou ukázány výsledky navržené estimace založené na umělé neuronové síti.

Klíčová slova: estimace rychlosti, bezsenzorové řízení, vektorové řízení, umělá neuronová síť

1 Úvod

Střídavé regulační pohony s asynchronními motory jsou předmětem výzkumu na mnoha tuzemských a zahraničních pracovištích. Bylo navrženo a realizováno mnoho strategií vektorového řízení asynchronního motoru podle různých kritérií, např. nízká cena pohonu, vysoce náročné aplikace apod.

Pro zvýšení spolehlivosti a snížení ceny pohonu existuje snaha eliminovat snímače polohy rotoru, resp. mechanické úhlové rychlosti, v aplikacích s vysokými výkony, v agresivním prostředí a v aplikacích v průmyslu, kde je zapotřebí velká mechanická robustnost.

Použitím systému diferenciálních rovnic asynchronního motoru mohou být magnetický tok a mechanická úhlová rychlosť vypočítány ze statorového napětí a hodnot statorových proudů. Magnetický tok je vyhodnocen ze statorových napěťových rovnic a mechanická úhlová rychlosť je pak získána použitím vypočteného toku a rotorových rovnic.

2 Matematický model asynchronního motoru

Matematický model asynchronního motoru vyjádřený v obecné souřadné soustavě lze popsat následujícími rovnicemi [2, 3, 5]:

$$\overline{u_s} = R_s \overline{i_s} + \frac{d\overline{\Psi}_s}{dt} + j\omega_k \overline{\Psi}_s \quad (1)$$

$$\overline{u_r} = R_r \overline{i_r} + \frac{d\overline{\Psi}_r}{dt} + j(\omega_k - \omega) \overline{\Psi}_r \quad (2)$$

$$\overline{\Psi}_s = L_s \overline{i_s} + L_h \overline{i_r} \quad (3)$$

$$\overline{\Psi}_r = L_r \overline{i_r} + L_h \overline{i_s} \quad (4)$$

kde jsou:

$\overline{u_s}, \overline{u_r}$	vektory statorového a rotorového napětí (V)
$\overline{i_s}, \overline{i_r}$	vektory statorového a rotorového proudu (A)
$\overline{\Psi}_s, \overline{\Psi}_r$	vektory spráženého statorového a rotorového toku (Wb)
L_s, L_r, L_h	vlastní indukčnosti statorového a rotorového vinutí, vzájemná idukčnost (H)
R_s, R_r	odpory statorového a rotorového vinutí (Ω)
ω_k, ω	úhlová rychlosť rotujúcich soustavy a úhlová rychlosť rotoru (rad/s)

3 Metody vyhodnocení mechanické úhlové rychlosťi bez použitia snímačů

3.1 Estimátory pracujúci v otevrené smyčce

Estimátory používajú k vyhodnocení mechanické úhlové rychlosťi pohonu monitorovanie statorových napěti a proudu. Častejši sa miesto priamyho mērenia statorových napěti využívajú rekonstrukcia tohto napěti zo znalosti spínacích kombinácií a mērenia napěti meziobvodu U_d . Přesnosť týchto estimátorov je závislá na znalosti parametrov pohonu [6].

3.2 Systém s referenčným modelem

V tomto systéme tvorí stavové promenné složky magnetického rotorového toku nebo indukovaného napěti. Tyto složky sú pak estimované v referenčnom modelu na základe mērenia statorových napěti a proudu. Následne sú srovnávané se stavovými promennými získanými z adaptačného modelu. Rozdiel medzi stavovými veličinami slúži ako vstupná veličina pre adaptačný mechanizmus, z ktorého vystupuje estimovaná hodnota mechanické úhlové rychlosťi a prizpôsobuje adaptívny model dokud není dosaženo požadovaného chovania [7].

3.3 Estimátory využívající drážkové harmonické rotoru

Mechanická úhlová rychlosť je získána na základě zvlnenia generovaného ve statorovém napäti, resp. proudu díky zmäneniam generovaným prítomnosti rotorových drážiek. Výsystém statorových a rotorových drážiek dochádza k zmäne magnetického odporu. V prípade, že m.m.f. ve vzduchové meze bude obsahovať drážkové harmonické, pak sa vlivem otáčenia rotoru budou v statorovém vinutí indukovať drážkové harmonické napäti. Metodou harmonické analýzy sa pak získá rotorová frekvencia [6].

3.4 Rozšírený Kalmanův filtr

Rozšírený Kalmanův filtr (EKF) je modifikácií základného Kalmanova filtrov pro nelineárne systémy. EKF je rekurzívny filter, založený na znalosti statistik stavov a šumov vytvorených märením a systémovým modelováním, ktorý môže byť aplikovaný na nelineárne časově promenné stochastický systém.

3.5 Estimátory využívající umělé inteligence

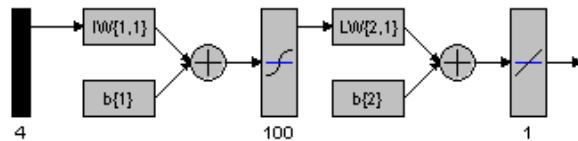
Mechanická úhlová rychlosť je u této metody získávaná z výstupu umělé neuronové sítě (ANN). Jako vstupné veličiny ANN sú obvykle použitý statorová napäť a pravidlo. Neuronová síť je pak v režime off-line natrénovaná sadou vhodných trénovacích vzorov. Trénovacie vzory musia obsahovať vzory zo všetkých pracovných oblastí pohunu, napr. vzory pre rôzne otáčky, zatíženie a ich kombinácie, aby sa zaručili robustnosť systému a chovanie v medzínach stavov. Ďalšia možnosť, ako súťať vhodne natrénovať, je možnosť trénovania metodou on-line. Vstupné veličiny sú zde získávané märením a požadovaný výstup je získaný pomocou metod opísaných više. Nevýhodou tejto metody je vysoká náročnosť na výpočetný systém.

4 Estimácia mechanické úhlové rychlosťi pomocí umělé neuronové sítě

4.1 Návrh struktury neuronové sítě

K návrhu vhodnej struktury neuronové sítě neexistujú žiadne doporučené metody. Síť musí byť navrhnutá tak, aby celý pohon bol dostatočne dynamický. Pôsobenie složitej sítě je náročné na výpočetný výkon, tým sa zväčšuje čas regulátora otáček a celý pohon tak pomalej reaguje na zmäny otáček. Ďalším dôležitým krokom pri návrhu neuronové sítě je volba vstupných veličín.

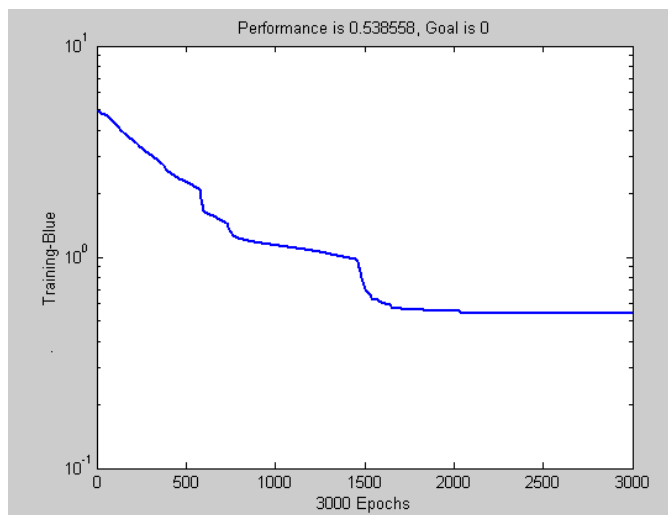
Bylo odzkoušeno několik různých typů sítí s různými vstupy. Nejvhodnější z nich byla síť typu feedforward se vstupními veličinami $u_\alpha, u_\beta, i_\alpha, i_\beta$. Obrázek 1. ukazuje strukturu navržené umělé neuronové sítě.



Obr. 1. Struktura umělé neuronové sítě

4.2 Učení neuronové sítě

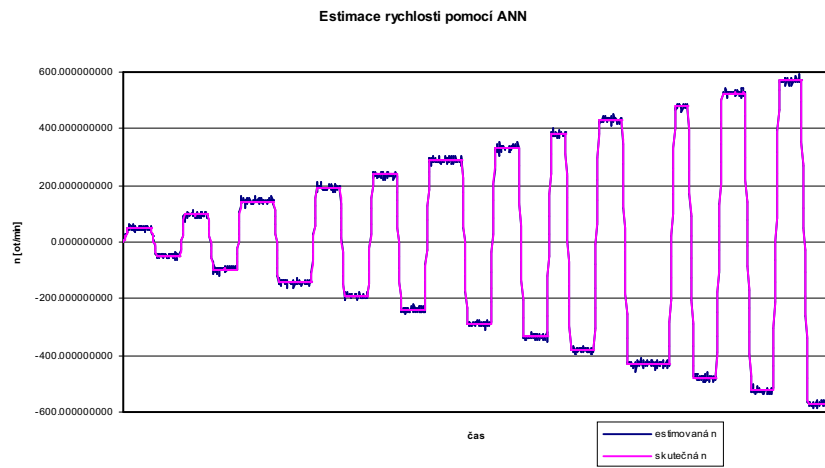
Trénovací data byla získána ze simulace pohonu v programu MathLab. Simulace byla provedena pro nezatížený pohon pro otáčky v rozsahu 0 až 600 ot/min. Potřebné vstupní veličiny byly ukládány ze simulace s periodou 10ms. Data byla dále upravena, aby jej bylo možné použít v Neural Network Toolbox programu MathLab. Jako trénovací algoritmus se nejlépe osvědčil Levenberg-Marquardtův algoritmus. Na obrázku 2. je zobrazen průběh chyby sítě při trénování.



Obr. 2. Průběh chyby umělé neuronové sítě

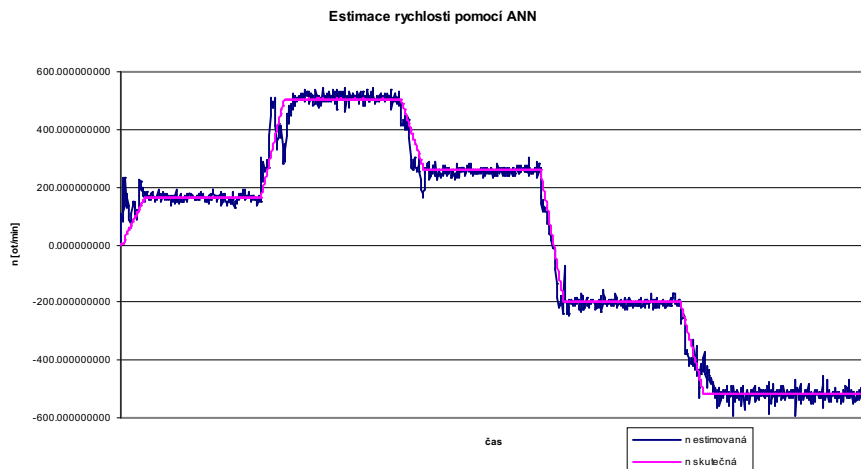
5 Simulační výsledky

Obr.3 ukazuje průběhy skutečné a estimované mechanické úhlové rychlosti. Průměrného rozdílu mezi skutečnou a estimovanou mechanickou úhlovou rychlostí bylo zde dosaženo menšího než 0.0002.



Obr. 3. Průběh skutečné a estimované mechanické úhlové rychlosti

Další obr.4 ukazuje, jak si neuronová síť dokázala poradit s neznámými daty. Otáčky byly zvoleny tak, aby byly různé od otáček, na které byla síť natřenována. Zde byl průměrný rozdíl mezi skutečnou a estimovanou rychlostí menší než 2.4.



Obr.4. Průběh skutečné a estimované mechanické úhlové rychlosti

Reference

1. Brandštetter P. *Střídavé regulační pohony – Moderní způsoby řízení*. VŠB - TU Ostrava, 1999, Ostrava. ISBN 80-7078-688X.
2. Hagan M.T., Demuth H.B., Beale M. *Neural Network Design*. PWS Publishing Company, 1995, Boston. ISBN 0-534-94332-2.
3. Neborák Ivo. *Modelování a simulace elektrických regulovaných pohonů*. VŠB - TU Ostrava, 2002, Ostrava. ISBN 80-248-0083-7
4. Neves F.A.S., Habetler T.G., Parma G.G., Menezes B.R., Silva S.R. An Evaluation of Sensorless Induction Motor Drives for Low Spees Operation. Sborník konference COBEP 99.
5. Skotnicka M. *Aplikace neuronových sítí v elektrických pohonech*. Doktorská disertační práce. VŠB-TU Ostrava, 1999.
6. Vinklárek D. Vektorové řízení asynchronního motoru bez použití čidla otáček. Doktorská disertační práce. VŠB-TU Ostrava, 2002.
7. Brandštetter P., Kuchař M., Palacky P., Vinklárek D. Sensorless Induction Motor Drive with Vector Control. Sborník konference EPE-PEMC 2002. Dubrovnik, Croatia, 2002.

Acknowledgement

In the paper are the results of the project LN00B029, which was supported by The Ministry of Education of Czech Republic. This research was supervised by Prof. Ing. Pavel Brandštetter, CSc.

Annotation:

In this paper different rotor position estimation methods without speed/position sensors, applied in induction motor drive, are considered. The neural network rotor position estimator for induction motor is detailed explain. The simulation results are presented.